

تحلیل سه بعدی جریان هوا و توزیع آلودگی در فضای یک اتاق

سیامک محمدی وند
دانشجوی کارشناسی ارشد

احمدرضا عظیمیان
دانشیار

دانشکده مهندسی مکانیک، دانشگاه صنعتی اصفهان

چکیده

جا به جایی و دفع بوهای نامطبوع و ذرات آلاینده معلق در هوای داخل یک اتاق با سالن و یا کارگاه صنعتی برای طراحان تأسیساتی و تهییه از الوبت ویژه‌ای برخوردار است و باید با صرف حداقل توان و انرژی لازم صورت گیرد. در روش‌های معمولی این عمل با استفاده از یک فن و درجه‌هایی که به طور تجربی محل آنها تعیین می‌شود انجام می‌گیرد. در صورتی که بنوان مسئله را به صورتی مدل کرد، به کمک آن می‌توان شرایط پیشنهاد شده را مشخص نمود. برای این منظور، معادلات ناویر - استوکس سه بعدی و معادله انتقال جرم را به دست می‌آوریم. نتایج کردن اختشاش پعنی معادلات $k - \epsilon$ را به کمک الگوریتم سیمپل حل کرده و تصویری از جریان و نحوه انتقال جرم را به دست می‌آوریم. نتایج حاصل بسیار مفید بوده و سیمای جامعی از میدان جریان را ارائه کرده که با نتایج عددی و تجربی موجود قابل مقایسه‌اند و در استفاده پیشنهاد از فضاهای داخلی می‌توانند کمک شایانی بکنند.

3 - D Flow Analysis and Contamination Distribution in a Room

A.R. Azimian
Associate Professor

S. Mohammadivand
P. G. Student

Mechanical Engineering Department,
Isfahan University of Technology

Abstract

Removal of air polutions and bad smells from indoor areas are of prime importance to air conditioning designers and should be done in a proper efficient way. In conventional ways this would be done by means of a fan whose position is found by trial and error. However, if one can model the flow, it would be possible to find the optimum conditions. In order to model the problem it is required to solve the Navier - Stokes equations parallel to mass transfer equation. Also the turbulence behaviour of the flow is modeled by solving the $k - \epsilon$ equations. By solving these equations it would be possible to predict the flow pattern and the distribution of the pollutions in a room. The predicted results were interesting and comparable to the published data and could be used in optimum use of the indoor areas.

مقدمه

نتایج چنین بررسی جامعی کمک شایانی در استفاده مطلوب و بهینه از فضای مورد نظر می‌کند. در این بررسی ابتدا برنامه برای یک هندسه ساده که نتایج عددی و تجربی آن در دسترس بود، اجرا شد و ضمن مقایسه نتایج با یکدیگر اطمینان لازم از صحت عملکرد برنامه به دست آمد. سپس برنامه برای بررسی چگونگی پخش و جا بجایی آلودگی ایجاد شده در هوای داخل یک اتاق مورد ارزیابی قرار گرفت و اثرات جا به جا کردن محل دریچه‌های ورودی و خروجی هوا و اندازه آن و همچنین محل وجود منبع آلودگی بررسی شد که نتایج آن در پی می‌آید. نکته لازم به تذکر این است که در این بررسی جرم مخصوص هوا ثابت در نظر گرفته شده و فرض شده است که آلودگی در غالب یک بوی نامطلوب است و باعث تغییری در جرم مخصوص هوا نمی‌شود.

معادلات حاکم

معادله‌های حاکم برای حل این جریان مغفوش، شامل معادله بقای جرم، معادله‌های ممنتوم در جهت‌های سه گانه و معادله انتقال جرم به صورت زیر است.

معادله پیوستگی: در حالت کلی به صورت زیر است:

$$\frac{\partial \rho}{\partial t} + \frac{\partial \rho}{\partial x_j} (\rho U_j) = 0 \quad (1)$$

معادلات ممنتوم: در حالت کلی به این صورت است:

$$\frac{\partial}{\partial t} (\rho U_j) + \frac{\partial}{\partial x_i} (\rho U_i U_j) = \frac{\partial}{\partial x_i} \tau_{ij} + X_i \quad (2)$$

از تانسور تنش بوده و با عبارت زیر مشخص می‌شود:

$$\tau_{ij} = -p\delta_{ij} + \mu (D_{ij} - \beta\theta) \quad .$$

$$D_{ij} = \frac{\partial U_i}{\partial x_j} + \frac{\partial U_j}{\partial x_i}$$

تانسور تغییر شکل

$$\theta = \frac{\partial U_i}{\partial x_i}$$

دیورژانس سرعت

$$\beta = \begin{cases} 1 & 2D \\ 2 & 3D \\ 3 & \end{cases}$$

$$X_i = \rho g_i$$

نیروی وزنی

اطلاع از وضعیت جریان سیال و نحوه جا به جایی و انتشار ذرات در فضاهای بسته تحلیل دفاتر کار، اتاق‌های محل زندگی، کارگاه‌ها و غیره از مسائلی است که مورد توجه طراحان سیستم‌های تهویه مطبوع است. برای کسب دانش لازم در این مورد باید به گونه‌ای اطلاعات نقطه به نقطه داخل فضا را در اختیار داشت که یکی از راه‌های آن اندازه‌گیری مستقیم است که بسیار دشوار و پر هزینه می‌باشد. راه دیگر، حل معادلات حرکت سیال و انتقال جرم در داخل این فضاهاست که به کمک روش‌های عددی، معادلات مربوطه را در فضای سه بعدی با استفاده از کامپیوترا حل می‌کنیم. محققان بسیاری در گذشته برای مدل کردن جریان سه بعدی با اهداف تهویه مطبوع بررسی هایی را انجام داده‌اند که برخی از آنها تجربی، پاره‌ای تحلیلی و تعدادی هم عددی هستند که در ادامه به بعضی از آنها اشاره می‌شود. کوربوشی^۱ و فنگ^۲ [۱] تحقیق جامعی را در مورد جریان‌های سه بعدی داخلی با استفاده از مدل‌های اغتشاش ارائه دادند و جریان‌های با هندسه‌های مختلف را برای شبیه‌سازی محل‌های مورد نیاز تهویه مطبوع بررسی کردند. نپ میلر^۳ و کیرک پاتریک^۴ به بررسی رفتار هوای سردی که به همراه آلودگی از سقف وارد اتاقی می‌شود پرداختند و رفتار هوای خنک کننده را با بارهای حرارتی متفاوت بررسی کردند که انتقال حرارت توسط گرم کردن یکی از دیوارها صورت گرفت. یعقوبی، نپ میلر و کیرک پاتریک [۲] و [۴] در دو مقاله مختلف به پیشگویی عددی انتقال آلودگی و کیفیت هوا در یک دفتر کار تهویه شده پرداختند. در بررسی آنها سرماشی توسط دو روش جا به جایی و جت هوای سرد بررسی شده است و بار حرارتی نیز از طریق یک دیوار گرم وارد می‌شود.

در بررسی حاضر با حل معادلات ناوبر - استوکز سه بعدی در حالت مغفوش به همراه معادله انتقال جرم همراه با در نظر گرفتن وجود منبع آلودگی در داخل یک فضای سه بعدی و در نظر گرفتن طبیعتی کاملاً سه بعدی برای جریان سیال به طوری که هرگونه جریان برگشتی نیز در آن قابل پیش‌بینی باشد، می‌توان تصویر کامل و جامعی از رفتار جریان هوای ورودی به یک اتاق، نحوه توزیع آن، مسیر جریان‌های غالب و نواحی تشکیل گردابه‌ها را نشان داد و نحوه توزیع آلودگی را با توجه به محل نصب دریچه‌های ورودی و خروجی به دست آورد.

معادله انرژی جنبشی اغتشاش:

$$\frac{\partial}{\partial x_j} (\bar{\rho} \tilde{u}_j k) = \frac{\partial}{\partial x_j} \left[\left(\frac{\mu_t + \mu_t}{\sigma_k} \right) \frac{\partial k}{\partial x_j} \right] + \mu_t \tilde{d}_{ij} \frac{\partial \tilde{u}_i}{\partial x_j} - \rho \epsilon \quad (7)$$

که

$$\mu_t = c_\mu \rho \frac{k^2}{\epsilon} \quad (8)$$

معادله اتلاف انرژی اغتشاش:

$$\frac{\partial}{\partial x_j} (\bar{\rho} \tilde{u}_j \epsilon) = \frac{\partial}{\partial x_j} \left[\left(\frac{\mu + \mu_t}{\sigma_\epsilon} \right) \frac{\partial \epsilon}{\partial x_j} \right] + c_{1\epsilon} \frac{\epsilon}{k} \mu_t \tilde{d}_{ij} \frac{\partial \tilde{u}_i}{\partial x_j} - c_{2\epsilon} \frac{\rho \epsilon^2}{k} \quad (9)$$

که ضرایب مربوطه در جدول زیر آمده‌اند.

(جدول ب)

c_μ	$c_{1\epsilon}$	$c_{2\epsilon}$	σ_k	σ_ϵ	σ_c
0.09	1.44	1.92	1.0	1.22	0.5

شبکه‌بندی

معادلات حاکم به صورت معادله‌های دیفرانسیل پاره‌ای هستند. برای حل عددی این معادلات باید از آنها انتگرال‌گیری کرده و به صورت جبری نمایش داد. برای این منظور باید قلمرو حل را به اجزاء کوچکتر تقسیم کرد. بنابراین ابتدا محدوده حل را شبکه‌بندی کرده و سپس از معادلات در این فضاهای کوچک انتگرال‌گیری می‌شود و در نهایت معادلات جبری به دست آمده از روش‌های موجود حل می‌شود. برای ایجاد یک شبکه مناسب محدوده حل با سلول‌های کوچکی پوشانده می‌شود، به نحوی که در کنار مرزها وجود سلول‌ها منطبق بر مرز باشد. در ایجاد شبکه معمولاً در محل هایی که گرادیان کمیت‌ها زیاد است لازم است که فواصل میان گره‌ها کم باشد و به عبارت دیگر سلول‌های کوچکتری اختیار شوند تا اینکه تغییرات زیاد کمیت‌ها در حل معادلات به نحوی ظاهر شود که همگرایی حل دچار اشکال نشود. بنابراین شبکه‌بندی محدوده حل دارای فواصل نامساوی خواهد شد. روش ایجاد این شبکه در مرجع [۵] آمده است.

معادله غلظت: معادله غلظت ماده A (رطوبت، بو و یا آلودگی) با فرض خواص متغیر به صورت زیر است:

$$\frac{\partial}{\partial t} (\rho C_A) + \frac{\partial}{\partial x_j} (\rho U_j C_A) = \frac{\partial}{\partial x_j} \left(D_{AB} \frac{\partial C_A}{\partial x_j} \right) + R_A \quad (10)$$

C_A غلظت ماده A در سیال

R_A نرخ تولید غلظت A

D_{AB} ضریب دیفیوژن A در B

با تبدیل کمیت‌ها به صورت مجموع دو جزء متوسط و نوسانی و با در نظر گرفتن جریان دائم، پس از متوسط گیری و ساده‌سازی، معادله‌ها به صورت زیر به دست می‌آیند.

پیوستگی:

$$\frac{\partial}{\partial x_j} (\bar{\rho} \tilde{u}_j) = 0 \quad (11)$$

ممنتوم:

$$\frac{\partial}{\partial x_j} (\bar{\rho} \tilde{u}_i \tilde{u}_j) = - \frac{\partial \bar{p}}{\partial x_i} + \frac{\partial}{\partial x_j} (\mu \tilde{d}_{ij}) - \frac{\partial}{\partial x_j} (\mu_{eff} \frac{\partial u_i}{\partial x_j}) \quad (12)$$

معادله غلظت: با اعمال فرضیات مربوط به جریان منشوش معادله زیر به دست می‌آید.

$$\frac{\partial}{\partial x_j} (\bar{\rho} \tilde{u}_j \tilde{C}_A) = \frac{\partial}{\partial x_j} \left(D_{AB} \frac{\partial \tilde{C}_A}{\partial x_j} \right) - \frac{\partial}{\partial x_j} \left(\frac{\mu_t}{\sigma_c} \frac{\partial \tilde{C}_A}{\partial x_j} \right) + R_A \quad (13)$$

معادلات (4) الی (6) معادله‌های حاکم بر جریان سیال هستند که به علت تجزیه کمیت‌های متغیر به دو بخش متوسط و نوسانی و با توجه به ساده‌سازی‌های مربوطه، معادلات ساده‌تر شده‌اند. به هر حال با اعمال اثرهای اغتشاش در معادلات، مجھول‌های اضافی ایجاد می‌شود، برای موازنۀ میان مجھول‌ها و معادلات، روابط دیگری باید معرفی گردد. این روابط را مدل‌های اغتشاش می‌نامند، که در حالت کلی مقادیر نوسانی را با استفاده از ثابت‌های تجربی به مقادیر متوسط مرتبط می‌کنند. در این بررسی از مدل دو معادله «انرژی جنبشی اغتشاش» و «نرخ اتلاف انرژی جنبشی» استفاده می‌کنیم که به صورت زیرند.

مشخصه ورودی و C_D ضریبی است که در ادامه در معادله ۱۵ از آن استفاده می‌شود. در مرز خروجی با فرض جریان توسعه یافته گرادیان کلیه متغیرها در جهت جریان صفر در نظر گرفته می‌شود، یعنی:

$$\frac{\partial \phi}{\partial \eta} = 0 \quad (11)$$

که در آن ϕ هر متغیر مجهول و η جهت خروج جریان است.

از آنجا که اعمال شرط مرزی بر روی دیوار صلب برای هر معادله روشی متفاوت با معادلات دیگر دارد، بنابراین لازم است هر معادله به طور جداگانه بررسی شود.

شرط مرزی دیوار برای معادله ممنوطوم: در روی دیوار صلب شرط عدم لغزش را به کار می‌بریم که در نتیجه تمام مؤلفه‌های سرعت صفر هستند. از طرفی در روی دیوار تمام شارها به جزء، شار اندازه حرکت صفر است. شار اندازه حرکت در روی دیوار تنفس برشی است. اگر تنفس روی دیوار جزو اطلاعات ورودی باشد دیگر نیازی به بررسی سرعت در کنار دیوار نمی‌باشد. در غیر این صورت (غلب حالات) باید سرعت در نقطه مجاور دیوار بررسی شود و معلوم شود که نقطه مزبور در زیر لایه آرام قرار دارد یا نه. اگر نقطه کنار دیوار در زیر لایه آرام باشد، برای تنفس بررسی رابطه زیر برقرار است:

$$\tau_{wall} = - \mu_L \frac{u_p}{y_p} \quad (12)$$

در این رابطه "u" نماینده سرعت در جهتی است که قرار است شرط مرزی اعمال شود. زیرا تنفس برشی در یک صفحه در دو راستای موازی با صفحه تولید می‌شود. اگر نقطه "p" در زیر لایه آرام نباشد، تنفس برشی از روابط موجود برای جریان مغذی شوش به دست خواهد آمد.

$$\tau_{wall} = - \rho_p c \mu^{\frac{1}{4}} (|k_p|)^{\frac{1}{2}} \frac{u_p}{u_p^{\frac{1}{2}}} \quad (13)$$

که در معادله بالا $u_p^{\frac{1}{2}}$ سرعت بی بعد در خارج از زیر لایه آرام بوده و برابر است با:

$$u_p^{\frac{1}{2}} = \frac{1}{\lambda} \ln (\eta y_p^{\frac{1}{2}}) \quad \text{و}$$

از آنجا که روش حل استفاده شده برای هر متغیر به شبکه خاصی نیاز دارد، لذا در کل محدوده حل از دو نوع شبکه بندی استفاده می‌شود که یکی شبکه بندی اصلی است که شامل متغیرهای فشار، انرژی افتاشش، استهلاک انرژی افتاشش، چگالی و غلظت می‌باشد و دیگری شبکه جا به جا شده است که فقط شامل سرعت در جهت‌های افقی، قائم و عمود بر صفحه کاغذ بوده و از جابجا کردن شبکه اصلی به اندازه نصف فاصله میان گره‌ها در جهت‌های غرب، جنوب و پایین تولید می‌شود. پس از اینکه معادلات دیفرانسیل به معادلات جبری ساده تبدیل شدند، این معادلات که همه آنها به جز معادله غلظت به هم وابسته‌اند، باید از روش‌های تکراری حل شوند. بنابر این از روش گوس- سایدل خط به خط که سرعت همگرایی آن زیاد است استفاده می‌شود. برای افزایش سرعت همگرایی قبل از محاسبه مجهولات در هر تکرار، ضریبی از مجهولات در معادلات حاکم قرار می‌گیرد و سپس معادلات حل می‌شود. در ضمن با تغییر این ضرایب می‌توان روند همگرایی معادلات مختلف را با هم یکسان کرد و نتیجه بهتری از حل گرفت.

شرایط مرزی

برای معرفی شکل و فیزیک مسئله، باید اطلاعات موجود در روی مرزها معلوم باشند تا این اطلاعات به عنوان شناسنامه آن مرزها استفاده شود. این اطلاعات یا شرایط مرزی بسته به نوع مرزها متفاوت هستند. ورودی، خروجی و دیوارهای صلب، شرایط مرزی مختلف به کار رفته در این مسئله هستند. در ورودی کلیه اطلاعات و مشخصات سیال باید معلوم باشد، این اطلاعات شامل پروفیل سرعت، غلظت، انرژی افتاششی و خواص اولیه سیال می‌باشند. در این پژوهش پروفیل ورودی سرعت، یکنواخت فرض می‌شود ولی جهت آن می‌تواند متغیر باشد. برای غلظت در ورودی هم مقدار مشخصی انتخاب می‌شود. با توجه به مغذی شوش بودن جریان سیال از نتایج تجربی کاتو^۶ از مرجع [۶] برای تخمین مقادیر ورودی k ، u_p استفاده می‌شود به گونه‌ای که:

$$k = 0.01 \sim 0.03 U_0^2, \quad L = 0.05 \sim 0.25 L_0, \quad \epsilon = C_D \frac{k^{3/2}}{L} \quad (14)$$

که در آن U_0 سرعت متوسط ورودی و L_0 طول

نتایج

برنامه را برای هندسه‌های مختلف اجرا کرده و نتایج آن را با کارهای تجربی و عددی تا حدی که اطلاعات مربوطه در دسترس بود مقایسه کردیم. اولین هندسه (شکل ۱) سلولی به ابعاد (m) $3 \times 0.3 \times 0.2$ است که هندسه بارون نامیده می‌شود و نتایج تجربی و عددی آن در مرجع [۱] ارائه شده است. سلول موردنظر توسط گردش آب آزمایش شده است. مؤلفه‌های عمودی و افقی سرعت توسط سرعت سنج لیزری دوبلر^۷ اندازه‌گیری شده است. بتایران در این مقایسه اندکی خطا در نتایج مورد انتظار است زیرا در محاسبات پژوهش حاضر از نیروی غوطه‌وری هوا صرفنظر شده است. شکل ۱ دریچه‌های ورودی و خروجی هوا به ابعاد (m) $0.95 \times 0.95 \times 0.181$ را در صفحه y-z نشان می‌دهد. شکل‌های ۲ و ۳ آرایش دو بعدی بردارهای سرعت را که توسط مرجع [۱] با هندسه بارون محاسبه شده به ترتیب در صفحات (y-z), (x-y), (z-x) نشان می‌دهد و شکل‌های ۴ و ۵ بردارهای سرعت محاسبه شده توسط این برنامه را در صفحات فوق نشان می‌دهد که تطابق کیفی خوبی را نشان می‌دهند که حاکی از عملکرد خوب برنامه است.

پس از مقایسه نتایج حاصل از اجرای برنامه با نتایج مرجع [۱] و کسب اطمینان از صحت عملکرد آن، برنامه برای دو هندسه دیگر اجرا شد. هندسه اول مشابه هندسه به کار رفته توسط یعقوبی و همکاران است و می‌توان نتایج را با یکدیگر مقایسه کرد. هندسه دوم به تأثیر تغییر موقعیت دریچه خروجی بر روی نحوه توزیع غلظت و جریان سیال می‌پردازد. هندسه اول اتفاقی به ابعاد (m) $1 \times 1 \times 1$ با دریچه‌های ورودی و خروجی به ابعاد (m) $0.19 \times 0.19 \times 0.19$ در صفحات y-z است. دریچه ورودی با سرعت (m/s) ۳ با مؤلفه‌های $w = 0$ و $v = 0$ و $u = 3$ و غلظت $(\frac{mol}{m^3})^{-4} \times 10$ وارد اتفاق می‌شود. در وسط اتفاق منبع آلودگی به قدرت $(\frac{mol}{m^3 \cdot s})^{-3} \times 5 \times 10^{-3}$ قرار دارد. عدد رینولدز جریان ۲۷۴۳۲ است و برنامه پس از ۲۰۰۰ تکرار به همکاری لازم رسید که معیار همکاری 10^{-4} است. نتایج میدان جریان و کانتورهای غلظت به صورت زیر است.

بردارهای سرعت

شکل‌های ۶ الف - ب - ج نمونه‌ای از بردارهای

$$y_p^+ = p^{\frac{1}{4}} C_p (k_p^{\frac{1}{2}})^{\frac{y_p}{\mu_e}} \quad (14)$$

که در آن $\eta = 9.7$ و $\lambda = 0.42$ هستند. معیار تفکیک زیر لایه آرام از مغشوش کمیت y_p^+ , می‌باشد. به طوری که اگر $y_p^+ > 11/63$ باشد، نقطه p در جریان اصلی مغشوش قرار دارد، در غیر این صورت p در زیر لایه آرام است.

شرط مرزی دیوار برای معادله انرژی اغتشاش (k): از آنجا که مدل‌های ارائه شده جریان آشفت برای جریان نزدیک دیوار صادق نیستند، معادله k برای سلول مجاور دیوار با فرض اضافی شار k روی دیوار برابر صفر حل می‌شود و عبارت تولید در معادله k یعنی (G)، براساس تنفس بیان می‌شود.

شرط مرزی دیوار برای معادله ε: به جای آنکه معادله ε در سلول مجاور دیوار حل شود، مستقیماً ε در کنار دیوار محاسبه می‌شود، این کار توسط مشاهدات تجربی که روی تغییرات طول مشخصه در کنار دیوار انجام شده است صورت می‌گیرد. طول مشخصه براساس k و ε برابر است با:

$$L = c_D \frac{k^{\frac{1}{2}}}{\epsilon} \quad (15)$$

اگر تغییرات L معلوم باشد، با حل k در کنار دیوار، دیگر نیازی به حل ε در این محدوده نخواهد بود. بررسی‌های تجربی نشان داده‌اند که L در کنار دیوار متناسب با فاصله از دیوار تغییر می‌کند، با این نتیجه تجربی فرمول زیر برای ε در سلول مجاور دیوار ارائه شده است:

$$\epsilon_p = \frac{c_D^{\frac{3}{4}} k_p^{\frac{3}{2}}}{\lambda \delta_p} \quad (16)$$

که δ_p می‌تواند بسته به موقعیت دیوار مقادیر x_p و y_p و z_p را اخذ کند.

شرط مرزی دیوار برای معادله غلظت: برای معادله انتقال، جرم دیوارها را غیر قابل نفوذ فرض کرده و گرادیان غلظت در جهت عمود بر دیوار، صفر در نظر گرفته می‌شود:

$$\frac{\partial c}{\partial n} \Big|_{wall} = 0 \quad (17)$$

می‌گیرد و در اندازه دریچه‌های ورودی و خروجی نیز اندکی تغییر داده می‌شود. محل منبع آلوودگی نیز از وسط صفحه پایینی به گوشه منتقل شده است. هندسه مسئله و نتایج نمایش سه بعدی بردارهای سرعت در شکل‌های ۱۰ - الف و ب آمده است. نتایج کامل اجرای برنامه در شکل‌های ۱۱ تا ۱۶ نشان داده شده اند که در ادامه تشریح می‌شوند.

بردارهای سرعت

صفحه $x-z$: شکل‌های ۱۱ - الف و ۱۱ - ب به ترتیب به فاصله $0 / ۰۲۷$ $y = ۰ / ۱۳$ $z = ۰$ از دیوار جنوبی واقع شده و چون در برگیرنده دریچه خروجی هستند، اثری از گردابه اصلی و بزرگ ایجاد شده در مقاطع بعدی در این صفحه نیست. البته این مسئله موجب این رفتن کامل گردابه نمی‌شود. زیرا در قسمت پایین نمودارها یعنی نزدیک به دیوار تحتانی گردابه‌ای وجود دارد. در شکل‌های ۱۱ - ج و ۱۱ - د با دور شدن از دریچه ورودی و خروجی و عدم وجود مانع، جریان دارای گردابه مرکزی بزرگی در کل صفحه است که جهت دوران جریان در این گردابه مطابق با جهت ورود جریان است. در شکل ۱۱ - ه که $y = ۰ / ۸۱۷$ m می‌باشد، مقطع در وسط دریچه ورودی است و به خوبی مشهود است که جریان ورودی با برخورد به دیواره شرقی ($x = ۰$) به سمت دیوار فوقانی منحرف شده و در امتداد صفحه فوقانی حرکت می‌کند. به دلیل ورود جریان، مرکز گردابه همانطور که ملاحظه می‌شود در گوشه سمت چپ بالا واقع شده است. در شکل ۱۱ - و که در انتهای دریچه ورودی است، جدایی جریان در دیوار تحتانی به وجود می‌آید به نحوی که قسمتی از جریان با جریان ورودی همراه و به طرف آن منحرف شده و بقیه آن بر اثر مکش گردابه‌ای که در شکل ۱۱ - ه قرار دارد به سمت بالای شکل حرکت می‌کند. در شکل‌های ۱۲ کانتورهای غلظت در این صفحات نشان داده شده اند که بعداً راجع به آنها بحث خواهد شد.

صفحه $(y - z)$: شکل ۱۳ - الف، با $(m) = ۰ / ۰۲۷$ $z = ۰$ ، در ابتدای دریچه ورودی واقع شده است. همانطور که ملاحظه می‌شود جهت جریان ورودی به سمت دیوار شرقی است و پس از برخورد به آن قسمت اعظم جریان، به دلیل فضای بیشتر، به سمت پایین شکل (دیوار جنوبی) منحرف شده که همین برگشت جریان سبب تشکیل گردابه اصلی در این صفحه است. قسمت کوچکی

سرعت را در موقعیت‌های مختلف z در صفحه x - z (y - z) نشان می‌دهد. شکل ۶ - الف با $(m) = ۰ / ۰۲۷$ بسیار نزدیک دیوار تحتانی است و اثر برخورد توده جریان ورودی به دیوار مقابل در سمت راست شکل نشان داده شده است. توده جریان ورودی پس از برخورد به دیوار شرقی به اطراف پخش می‌شود. شکل ۶ - ب بردارهای سرعت را در $(m) = ۰ / ۵$ نشان می‌دهد که چون این مقطع از دریچه‌های ورودی و خروجی عبور می‌کند، ورود و خروج جریان و دو گردابه تشکیل شده در دو قسمت بالا و پایین به خوبی دیده می‌شود. شکل ۶ - ج در $(m) = ۰ / ۹۷۲$ = قرار دارد و وضعیت جریان تقریباً مشابه وضعیت شکل ۶ - الف است. به علت موقعیت دریچه‌ها و حالت تقارنی که وجود دارد الگوی جریان در صفحات $(x - z)$ بسیار شبیه الگوی جریان در صفحات $(y - x)$ است و شکل‌های ۷ - الف - ب - ج موضوع را به خوبی نشان می‌دهد. در صفحه $z - y$ الگوی کلی جریان بسته به موقعیت صفحات انتخاب شده از گوشه‌ها به وسط و یا از وسط به کناره‌ها است. شکل‌های ۸ - الف و ۸ - ب را ببینید. گفتگی است که بین الگوی جریان این هندسه و الگوی ارائه شده توسط یعقوبی و دیگران تطابق خوبی وجود دارد. بررسی کانتورهای غلظت که در شکل‌های ۹ - الف و ۹ - ب نشان داده شده است تمرکز آلوودگی را حول محور مرکزی نشان می‌دهد که حکایت از خروج آلوودگی از محور مرکزی جریان است. بدین ترتیب که باتوجه به منبع آلوودگی که در سطح پایینی قرار دارد، بر اثر جریان مکشی قسمت مرکزی که ناشی از ورود و خروج جریان است آلوودگی از قسمت منبع به سمت جریان مرکزی کشیده شده و به سمت خروجی هدایت می‌شود. تمرکز بسیار شدید کانتورهای غلظت در شکل ۹ - الف در صفحه $(y - z)$ و شکل ۹ - ب در صفحه $(x - y)$ (y این مسئله را به خوبی نشان می‌دهد، البته در کار یعقوبی و همکاران به یکی از سطوح، حرارت نیز داده می‌شود که در کار حاضر چنین نیست و بنابراین اندک تفاوت‌هایی دیده می‌شود.

حال تغییری در محل و اندازه دریچه‌های ورودی و خروجی و همچنین محل منبع آلوودگی داده و به بررسی میدان جریان و غلظت می‌پردازیم. تغییرات انجام شده به این ترتیب است که محل دریچه خروجی که در هندسه قبلی در صفحه $(z - y)$ قرار داشت به صفحه $(y - x)$ منتقل می‌شود، یعنی در امتداد عمود بر ورودی قرار

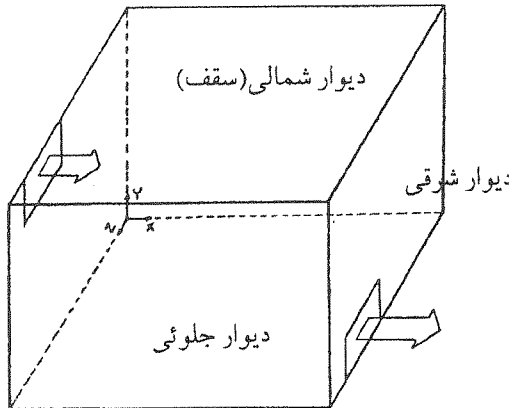
اتاق است. این دو صفحه چون به دیوار شرقی، محل برخورد توده هوای ورودی، نزدیک می باشند، نقش پخش جریان روی دیوار شرقی در آنها دیده می شود. به خصوص در شکل ۱۵ - و گوشه بالای سمت چپ شاهد جدایی جریان است. این نقطه محل برخورد توده هوای ورودی و دیواره شرقی است که بخش بیشتر جریان به سمت پایین و بخش کوچکتری به علت فضای کمتر به بالا هدایت می شوند.

کانتورهای آلودگی

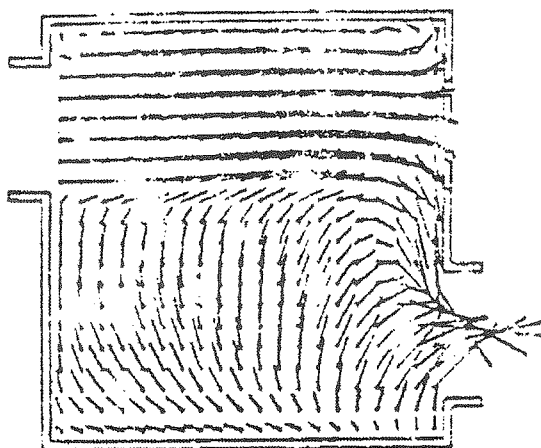
صفحه $x-z$ - شکل ۱۲ - الف، با $(m) = 0 / ۰۲۷$ در ابتدای منبع آلودگی قرار داشته و شامل دریچه خروجی هم است. غلظت آلودگی خروجی $(m^3 / s) = 0.01 \times 10^{-4}$ است که نسبت به ورودی $(m^3 / s) = 4 \times 10^{-3}$ حدود ۲۵٪ افزایش را در این مقطع نشان می دهد. گردایان زیاد غلظت آلودگی در اطراف منبع دیده می شود شرط مرزی تمام دیوارها نفوذ ناپذیری است و در شکل های هم مشخص است که گردایان در جهت عمود بر دیوار صفر می باشد. شکل ۱۲ - ب که دارای $y = 0 / ۰$ می باشد. در قسمت های انتهایی منبع آلودگی قرار دارد. به دلیل وجود گردابه در همین نقطه، انتقال آلودگی از طریق حا به حایی و انتشار در بقیه فضا کمتر انجام می شود. شکل ۱۲ - ج که به فاصله $(m) = 0 / ۲۲۲$ از دیوار جنوبی قرار دارد، شاهد کامل شدن گردابه اصلی است و همین موجب انتقال آلودگی و انتشار آن در کل صفحه است. بنابراین اگر منبع در این صفحه قرار می گرفت انتشار آلودگی به مراتب بیشتر می بود و متوسط غلظت آلودگی در این مقطع می توانست بیشتر باشد. در شکل ۱۲ - د با دور شدن از منبع آلودگی و وجود گردابه اصلی، آلودگی دارای غلظت متوسطی در کل صفحه است و گردایان تغییرات آن خیلی زیاد نیست. شکل های ۱۲ - ۵ و ۱۲ - و شامل دریچه ورودی است و بنابراین با توجه به رژیم جریان، آلودگی هوا کمتر و به عبارت دیگر دارای هوای تمیزتر و یا خالص تری نسبت به بقیه مقاطع صفحه $x-z$ است.

صفحه $(y-x)$: شکل ۱۴ - الف به فاصله $(m) = 0 / ۰۲۷$ از دیوار تحتانی شاهد حضور قسمتی از منبع آلودگی و دریچه ورودی است. همین ویژگی در شکل ۱۴ - ب، $(m) = 0 / ۱۳$ از منبع دیده می شود. از برخورد هوای با غلظت کم ورودی با هوای غلظت اطراف منبع آلودگی انتظار مشاهده گردایان زیاد غلظت می رود.

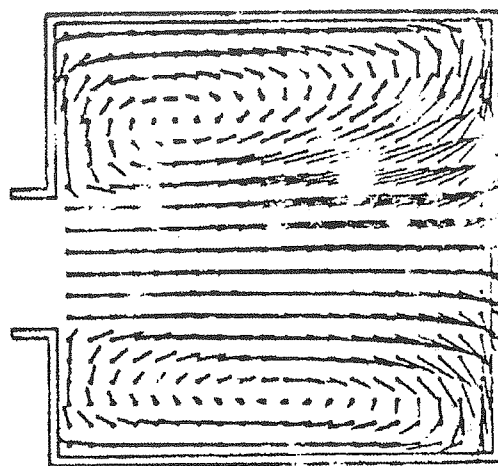
از جریان ورودی پس از برخورد با دیوار شرقی به سمت بالای شکل (دیوار شمالی) حرکت کرده و به دلیل فضای کم، گردابه کوچکی در گوشه بالای سمت راست تشکیل می شود. جدایی جریان روی دیواره غربی بر اثر مکش ورودی است. شکل ۱۳ - ب هنوز در محدوده دریچه ورودی قرار دارد و همان رژیم جریان در شکل ۱۳ - الف را دارد. با این تفاوت که مرکز گردابه اصلی در این شکل در گوشه پایین سمت راست تشکیل شده است، به نحوی که جدایی جریان در گوشه سمت چپ پایین به علت مکش ورودی و مکش این گردابه تغییر موقعیت داده است. شکل ۱۳ - ج با $(m) = 0 / ۲۲۳$ از دریچه ورودی عبور کرده و گردابه بزرگ اصلی کامل شده است، ولی گوشه بالای سمت راست هنوز تحت تأثیر گردابه تشکیل شده در دو شکل ۱۳ - الف و ۱۳ - ب قرار دارد. شکل ۱۳ - د دارای جریانی با آرایش شبیه شکل ۱۳ - ج است. در شکل های ۱۲ - ۵ و ۱۲ - و با نزدیک شدن به دریچه خروجی رژیم جریان عوض می شود و گردابه اصلی به گوشه بالای سمت چپ منتقل شده و قسمت عمده ای از جریان به سمت خروجی متامیل می شود. این تغییر رژیم در شکل ۱۳ - و باز بوده و گردابه اصلی را از بین می برد و تقریباً تمام جریان برای خروج به گوشه پایین سمت چپ شکل هجوم می آورد. شکل های ۱۴ - کانتورهای غلظت را در این صفحات نشان می دهند که در ادامه راجع به آنها بحث می شود. صفحه $y-z$: شکل ۱۵ - الف نزدیک هر دو دریچه ورودی و خروجی است. در گوشه بالای سمت چپ، جریان در جهت عمود بر صفحه به سمت بیرون رانده شده و باعث مکش جریان به سمت خود می شود. از طرفی دریچه خروجی در گوشه پایین سمت راست شکل بخشی از جریان را برای خروج به طرف خود جذب می کند. گردابه واقع در گوشه بالای سمت راست به دلیل این مکش به وجود آمده است. شکل ۱۵ - ب با $(m) = 0 / ۱۳$ هنوز نزدیک دو دریچه قرار دارد و دو گردابه در دو گوشه به وجود آمده اند. این دو گردابه در شکل ۱۵ - ج با $(m) = 0 / ۲۲۳$ و شکل ۱۵ - د با $(m) = 0 / ۵۹۵$ نیز دیده می شود. علت اصلی تشکیل این دو گردابه، حرکت جریان در مجاورت دیوارهای فوقانی و جنوبی به سمت خروجی است. در شکل های ۱۵ - ۵ و ۱۵ - و که از دریچه های ورودی و خروجی فاصله زیادی دارد و نزدیک به دیوار شرقی است، این دو گردابه از بین رفته و تمام صفحه شاهد هجوم جریان برای رسیدن به صفحات دیگر و خروج از



شکل (۱) هندسه بارون.



شکل (۲) بردارهای سرعت به دست آمده در هندسه بارون.

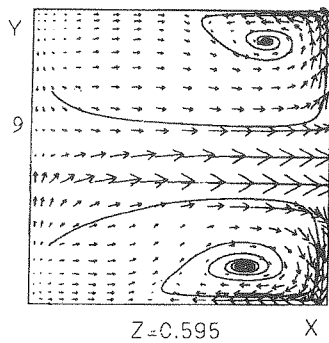


شکل (۳) بردارهای سرعت به دست آمده در هندسه بارون.

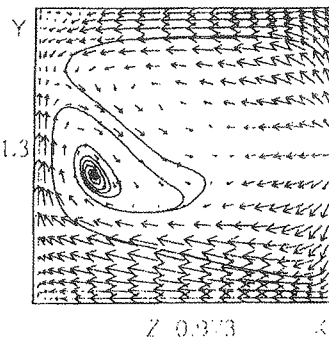
گرادیان غلظت با رسیدن به شکل‌های ۱۴ - ج و ۱۴ - د با دور شدن از منبع، دریچه ورودی و محل تشکیل گردابه اصلی کمتر می‌شود و به حدود ۲۰٪ تا ۳۰٪ می‌رسد. این گرادیان غلظت در شکل‌های ۱۴ - ۵ و ۱۴ - ۶ با رسیدن به دریچه خروجی و تحلیل رفتن گردابه اصلی باز هم کمتر شده و به حدود ۱۰٪ می‌رسد. صفحه Z-Y: اولین شکل این صفحه یعنی شکل ۱۶ - الف به فاصله (m) $0.27 = x$ از دیوار غربی قرار دارد و حاوی هر دو دریچه ورودی و خروجی است. در این مقطع و شکل‌های ۱۶ - ب و ۱۶ - ج که تحت تأثیر منبع آلودگی قرار دارند. بر اثر وجود منبع که در مرکز گردابه قرار گرفته و عدم پخش زیاد آلودگی، قسمت بالای سمت راست این شکل‌ها دارای غلظت خیلی کمی در حد غلظت ورودی هستند. در شکل ۱۶ - د با بزرگ شدن گردابه سمت چپ، گرادیان غلظت بیشتر شده و سهم قسمت تمیز کمتر می‌شود. با نزدیکی به دیوار شرقی که هوای تمیزی به آن می‌رسد و توجه به رژیم جريان آن، هوایی با آلودگی کمتر مورد انتظار است. در شکل‌های ۱۶ - ۵ و ۱۶ - ۶ و اين مسئله مشهود است.

بحث و نتیجه گيري

مقاييسه الگوي جريان دو هندسه فوق به خوبی نشان مي‌دهد که با جا به جا کردن محل دریچه، حالت مقارني که در الگوي جريان در حالت اول وجود داشت کاملاً از بين رفته و به جاي گردابه‌های تقریباً متقارني که در دو سوی جريان جت مرکزی تشکیل می‌شد، این بار یک گردابه بزرگ در ناحیه مرکزی اتاق تشکیل می‌شود. مقاييسه الگوهای جريان در صفحات (z-y) هم نشان مي‌دهد که به جاي جريان‌های از مرکز به گوشه‌ها و از گوشه‌ها به مرکز که در لایه‌های مختلف اين صفحات در هندسه اول وجود داشت، در موقعیت جدید دریچه صرفنظر از گردابه‌هایی که وجود دارد الگوي کلی جريان از يك گوشه به سمت گوشه مقابل و يا بر عکس است که ناشی از به ترتیب مکش و يا رانش هر يك از دریچه‌های ورودی و يا خروجی است. به همین گونه الگوي مشابهی را در مورد رفتار کانتورهای غلظت می‌توان ملاحظه کرد که از مقاييسه شکل‌های مربوطه واضح است. بدین ترتیب بسته به ميزان و شدت غلظتی که در هر نقطه مورد نظر است در مورد محل و موقعیت و اندازه دریچه‌ها، سرعت و امتداد جريان، تعیین حداقل ميزان آلودگی مجاز و غيره می‌توان تصمیم گیری کرد.

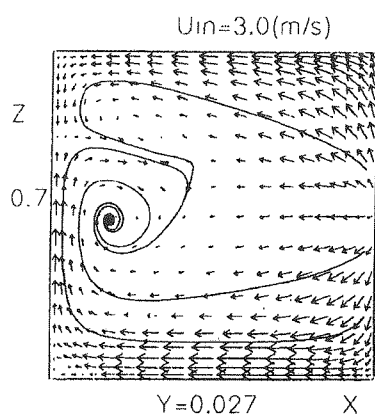


شکل (۶ - ب)

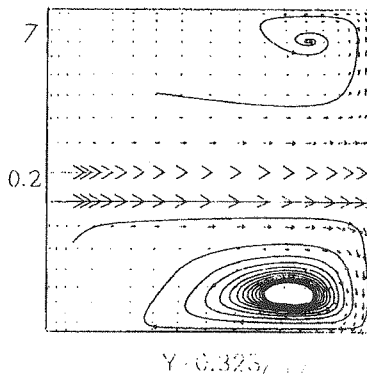


شکل (۶ - ج)

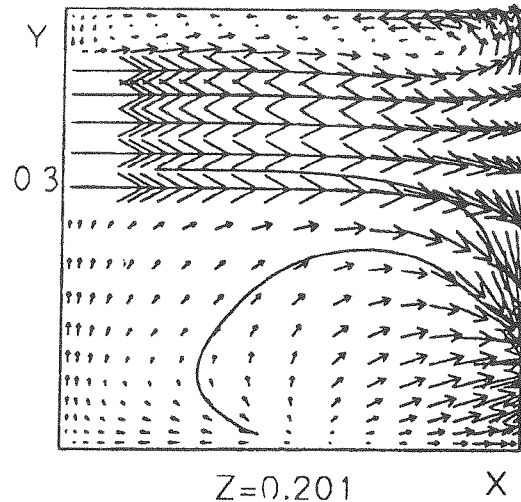
شکل (۶) بردارهای سرعت در صفحه $y - x$.



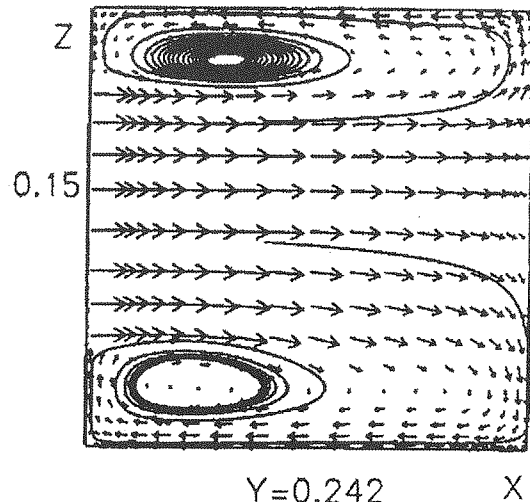
شکل (۷ - آلفا)



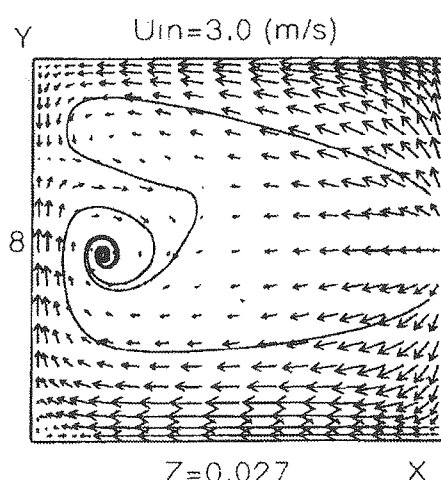
شکل (۷ - ب)



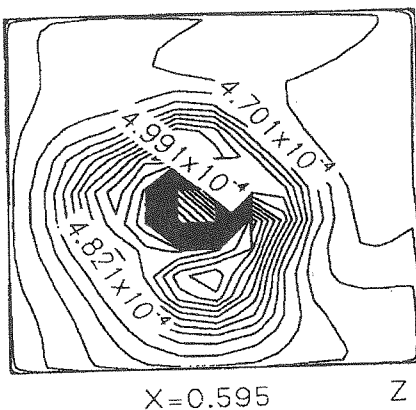
شکل (۴) بردارهای سرعت در صفحه $y - x$.



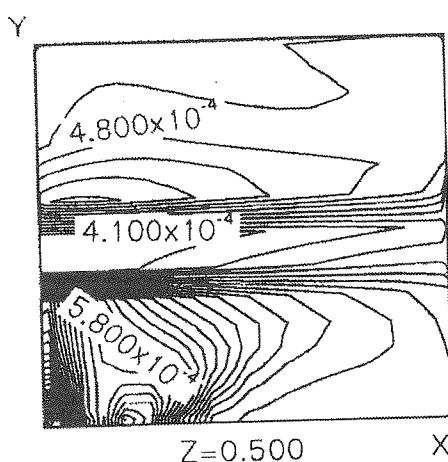
شکل (۵) بردارهای سرعت در صفحه $z - x$.



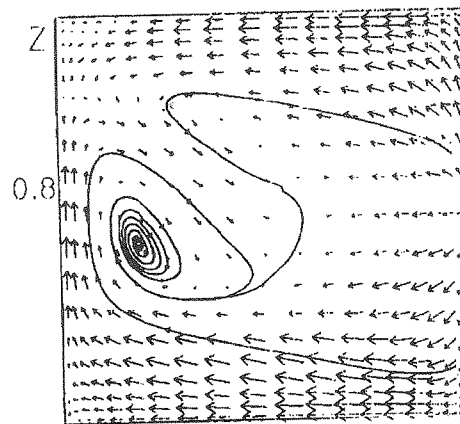
شکل (۶ - آلفا)



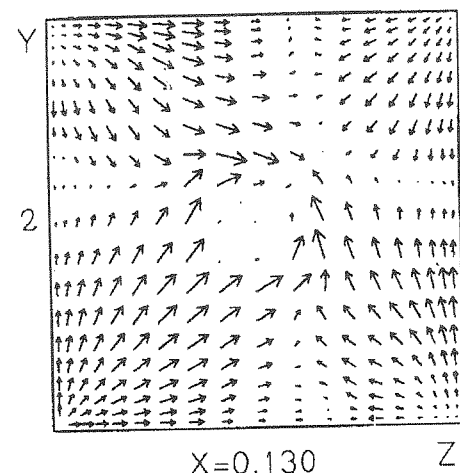
شکل (۹ - االف)



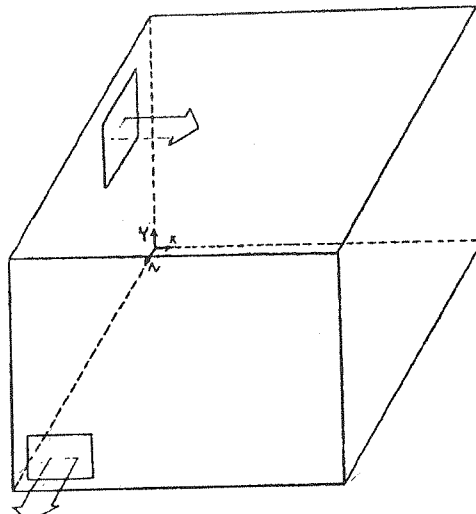
شکل (۹ - ب) کانتورهای غلظت در صفحه y - x .



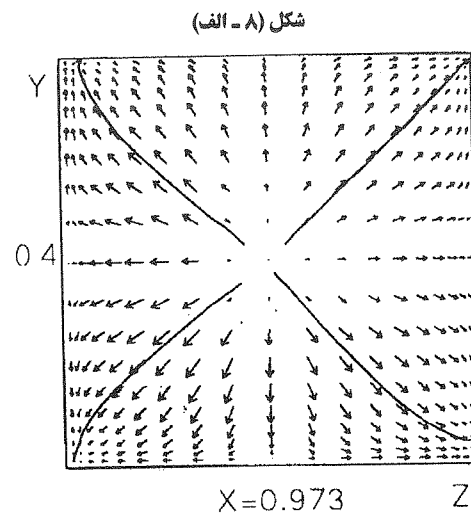
شکل (۷) بردارهای سرعت در صفحه x - z .



شکل (۷) بردارهای سرعت در صفحه y - z .

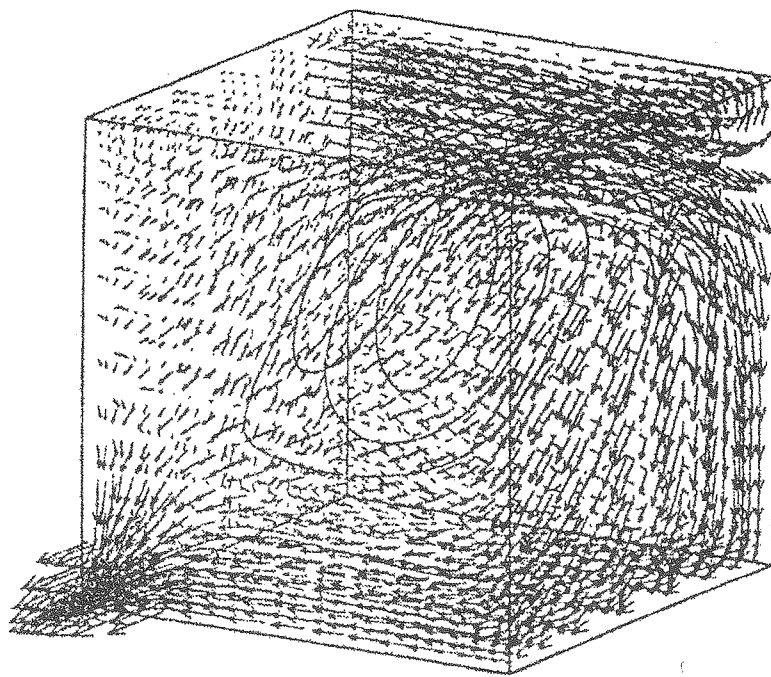


شکل (۱۰ - الف) محفظه آفاق و دریچه های ورودی و خروجی در اجرای دوم.

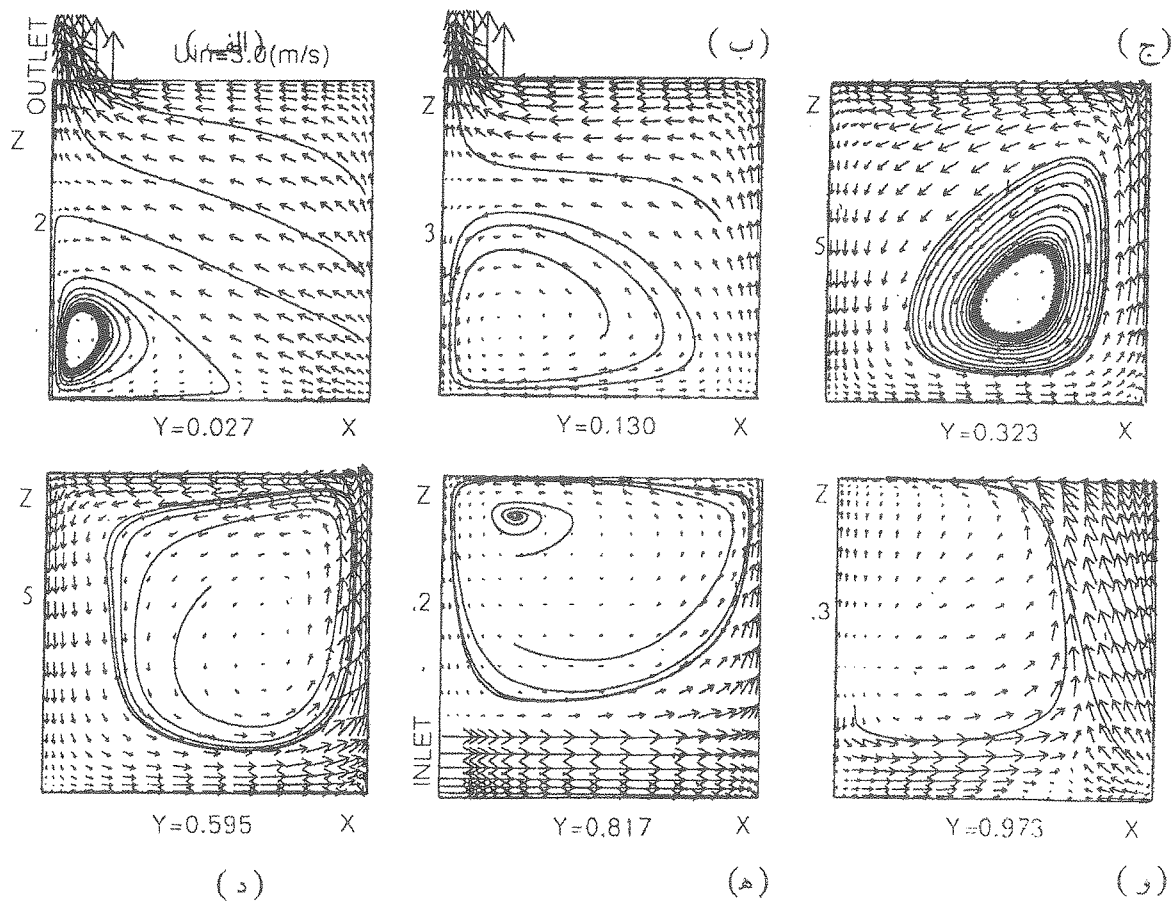


شکل (۸ - ب)

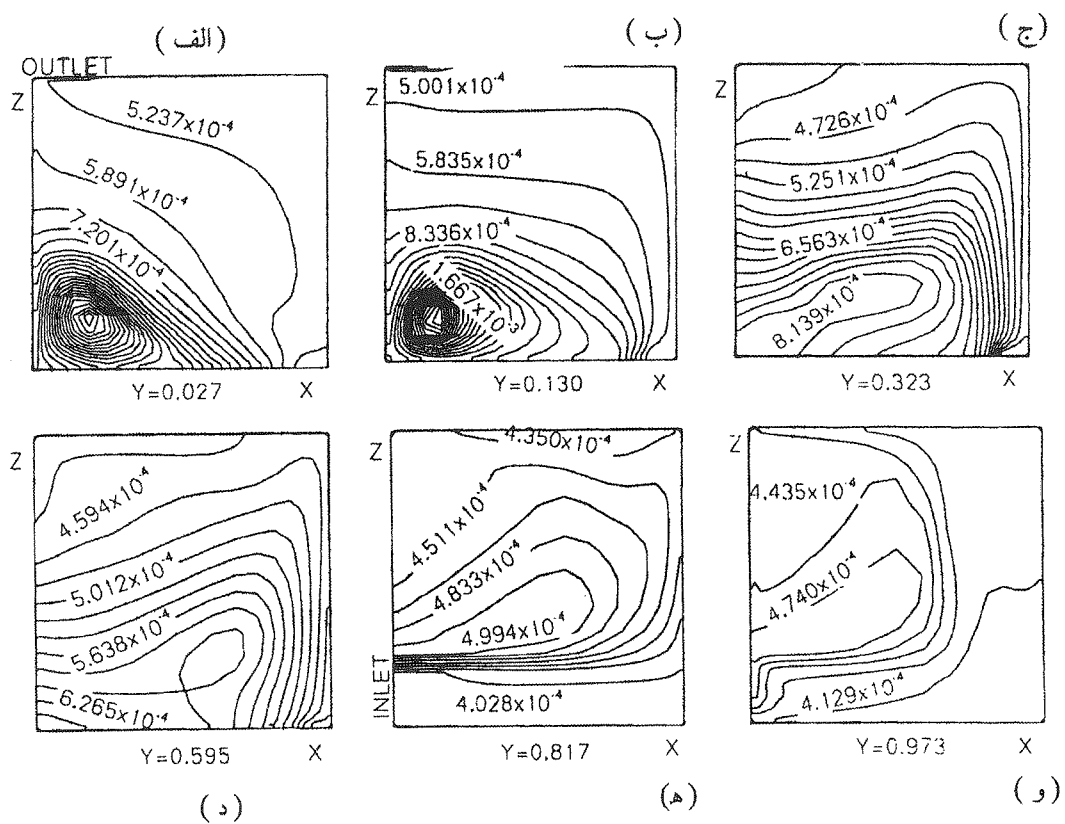
شکل (۸) بردارهای سرعت در صفحه y - z .



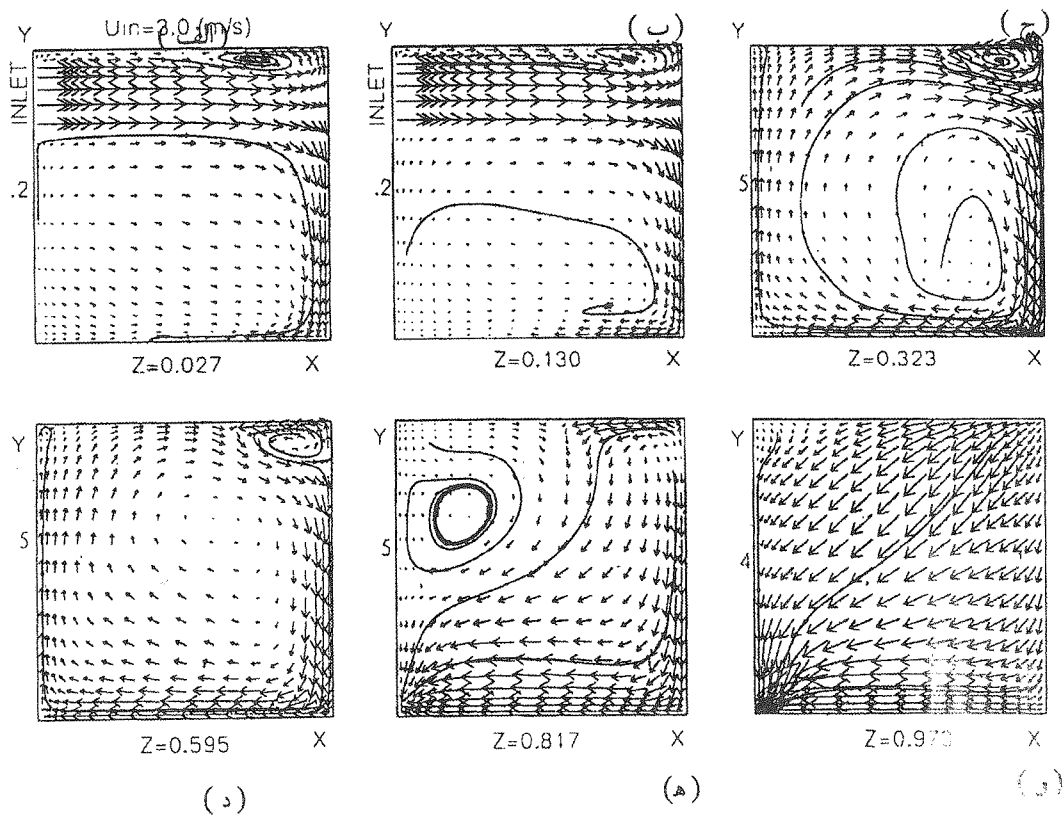
شکل (۱۰) ب - نمایش سه بعدی آرایش بردارهای سرعت در اجرای دوم.



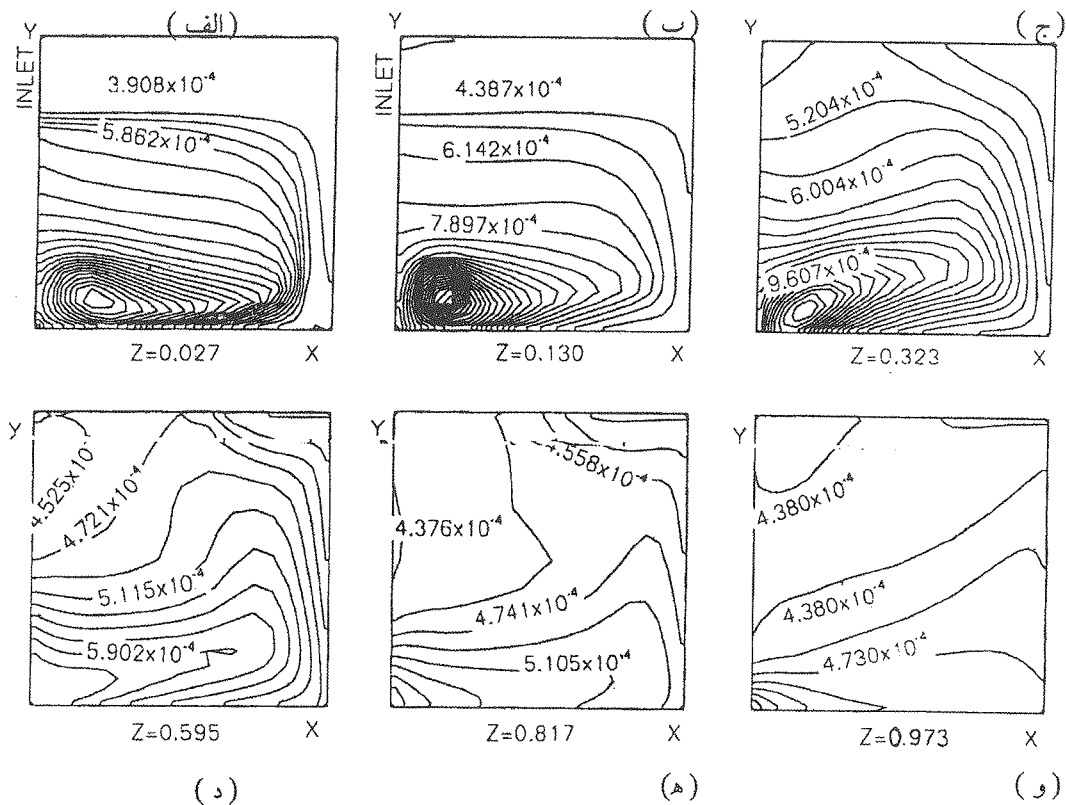
شکل (۱۱) بردارهای سرعت در صفحه $X-Z$



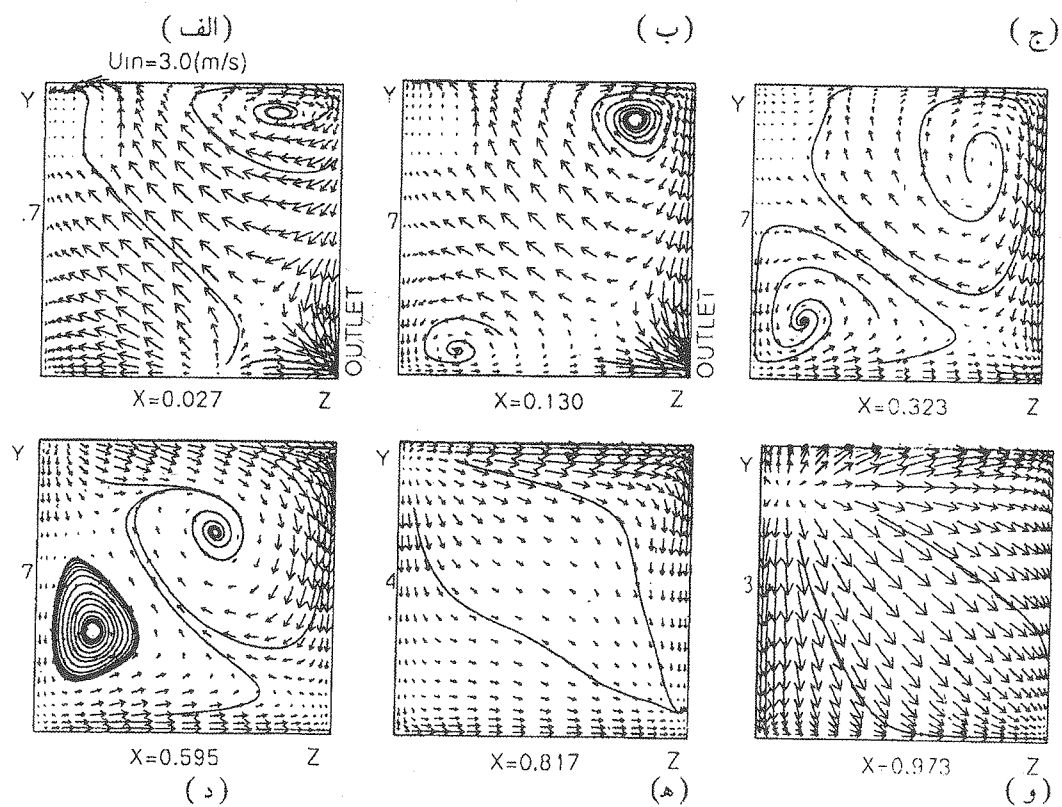
شکل (۱۲) کانتورهای غلظت در صفحه X - Z



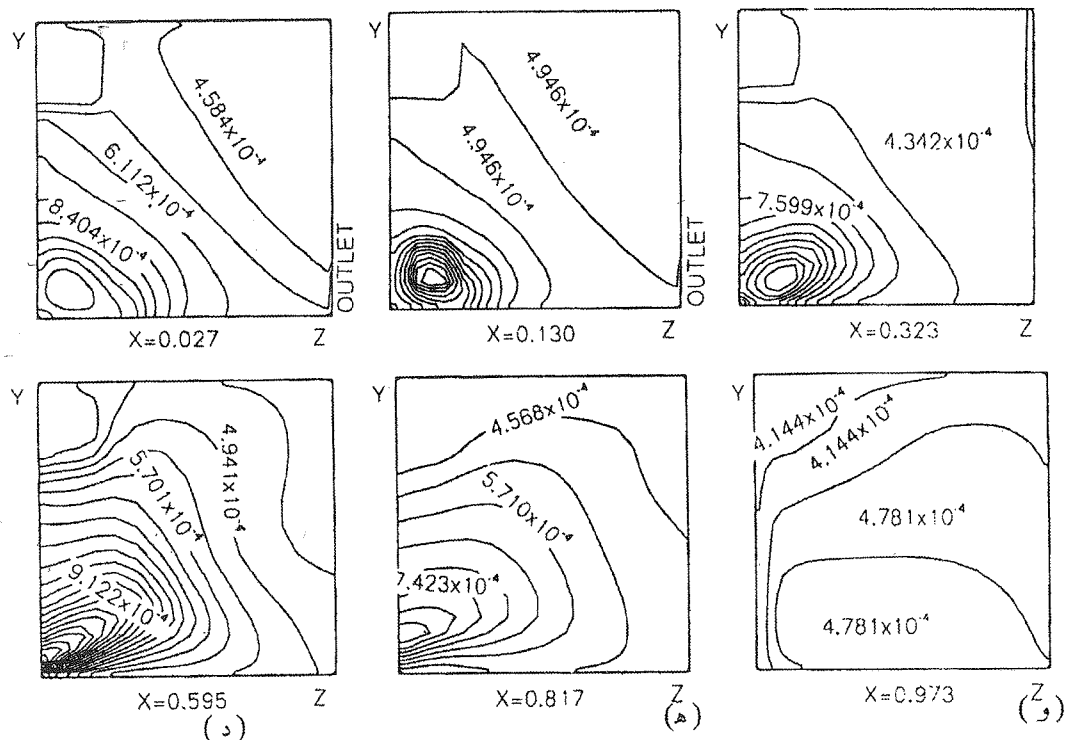
شکل (۱۳) بردارهای سرعت در صفحه X - Y



شکل (۱۴) کانتورهای غلظت در صفحه $y - z$



شکل (۱۵) بردارهای سرعت در صفحه $y - z$



شکل (۱۶) گانتورهای غلظت در صفحه y - z -

زیرنویس‌ها

- 1 - T.Kurbuchi
- 2 - J. B. Fang
- 3 - K. Knappmiller
- 4 - A, Kirkpatrick
- 5 - Reynolds Stresses
- 6 - Kato
- 7 - Baron's geometry

مراجع

- [1] Kurbuchi, T., and Fang, J. B., "A numerical method for calculating indoor airflows using a turbulence model," NISTIR, 89-4211, 1990.
- [2] Knappmiler, K.D., and Patrick, A.T.K., "Computational determination of the behavior of a cold air ceiling jet in a room with a plume," ASHRAE Transactions Symposia, OR-94-6-2, 1994.
- [3] Yaghoubi, M.A., Knappmiler, K.D., and Patrick, A.T.K., "Numerical prediction of contaminant transport and indoor air quality in a ventilated office space," Particulate Science and Technology, 13, pp. 117 - 131, 1995.
- [4] Yaghoubi, M.A., Knappmiler, K.D. and Patrick, A.T.K., "Three-dimensional numerical simulation of air contamination dispersal in a room," ASHRAE Transactions Syposia, CH-95-15-1, 1995.
- [5] Hoffman, K. A., and Chiang, S.T., "Computational fluid dynamics for engineers," A Publication of Engineering System, Whchita, Kansas, 62208-1078, USA 1994.
- [6] Vanka, S.P., "A calculation procedure for three-dimensional steady recirculating flows using multigrid methods," Comp. Meth. in Appl. Mech. and Eng. 55, pp. 321-338, 1986.